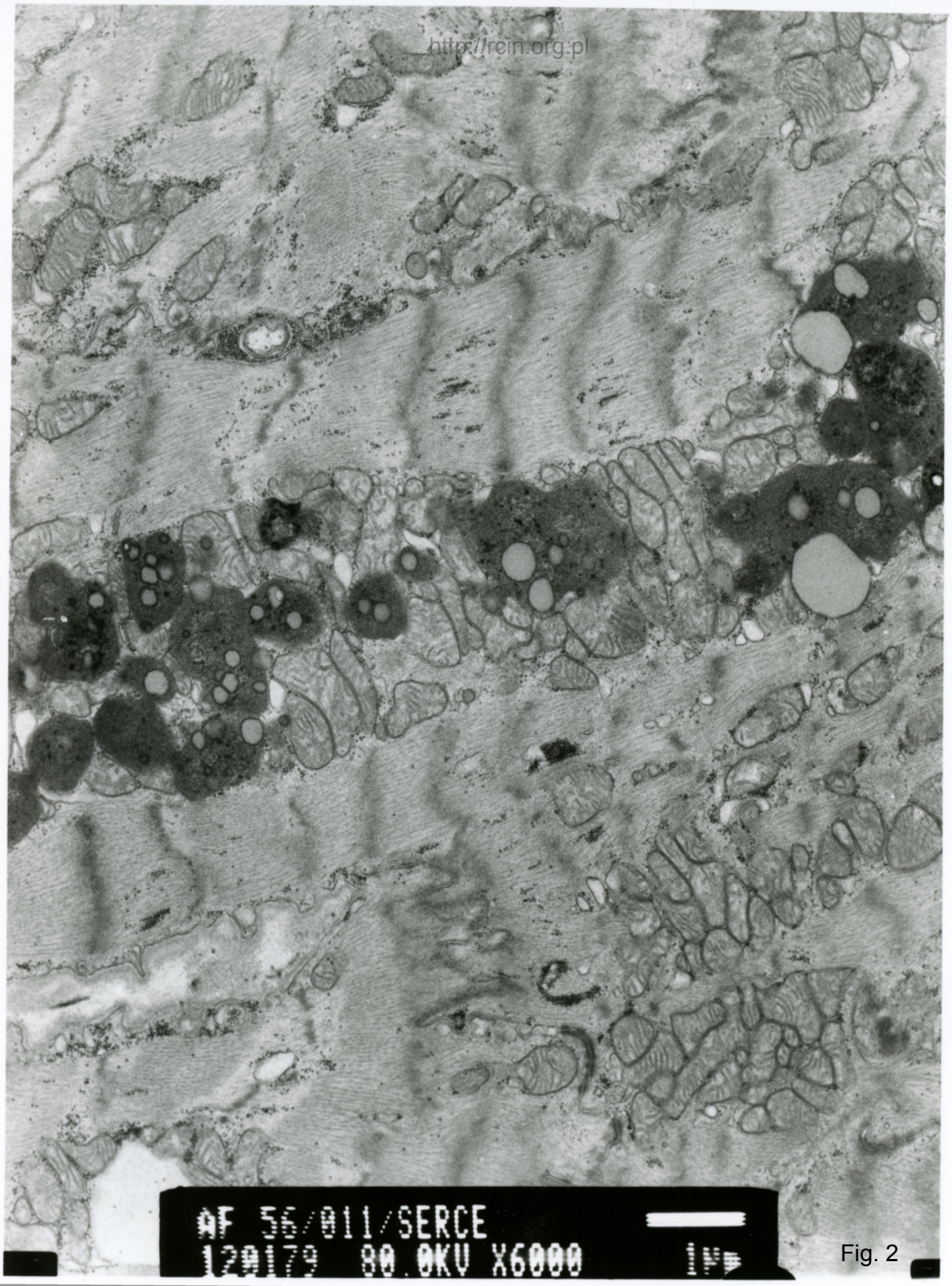
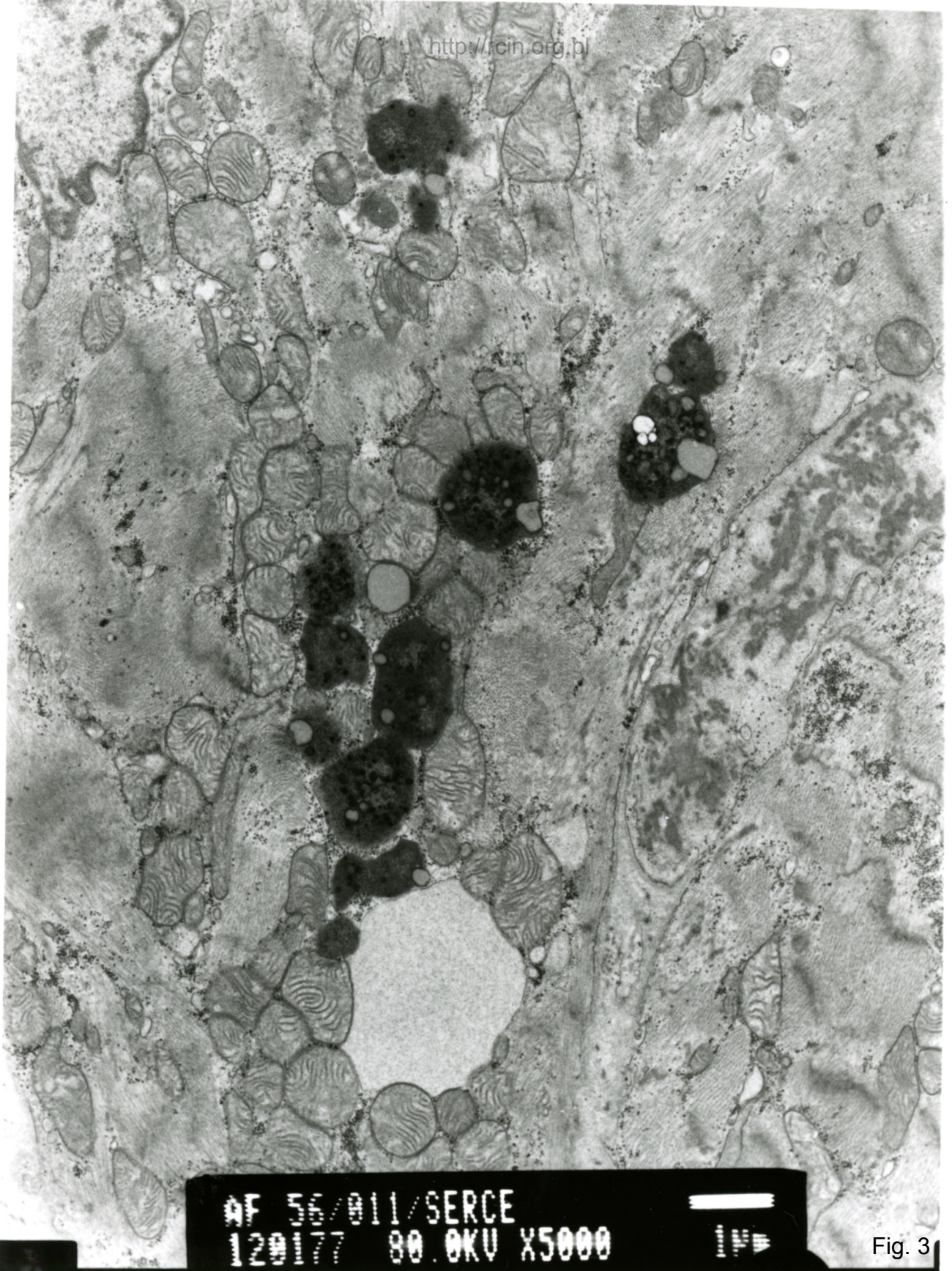


Fig. 1



AF 36/011/SERCE
129179 80.0KV X6000

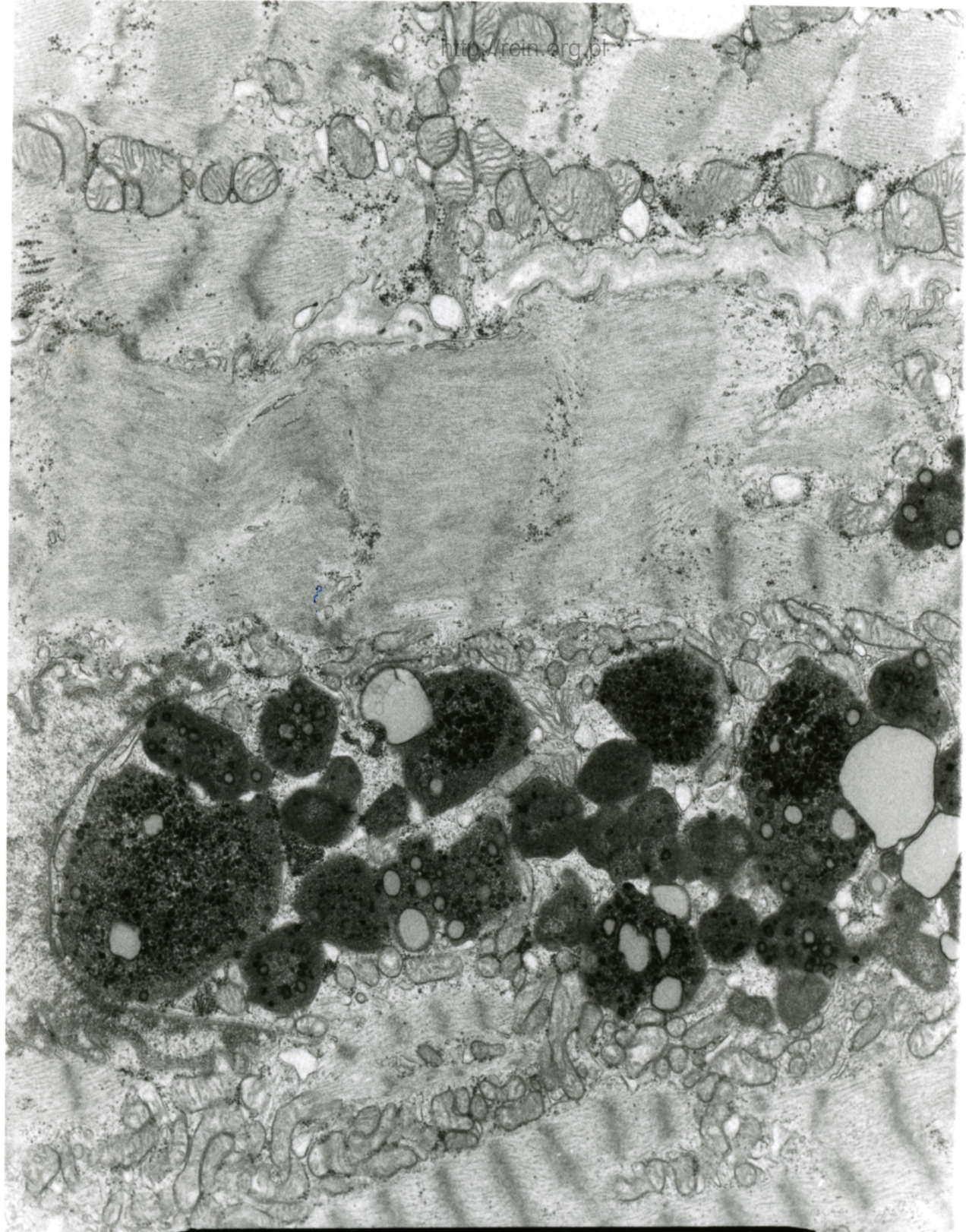
Fig. 2



AF 56/011/SERCE
120177 80.0KV X5000

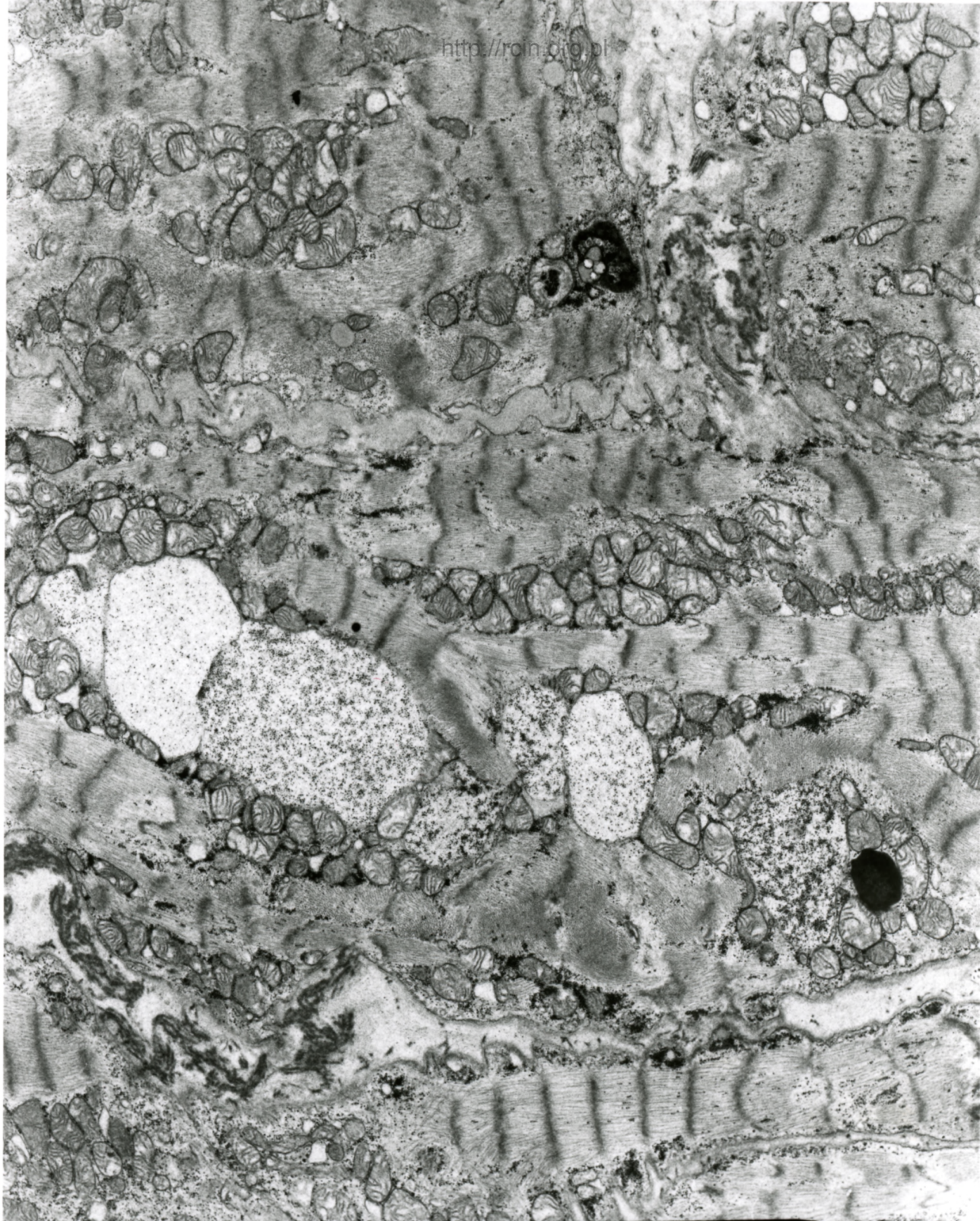


Fig. 3

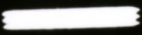


AF 56/011/SERCE
120178 80.0KV X6000

Fig. 4

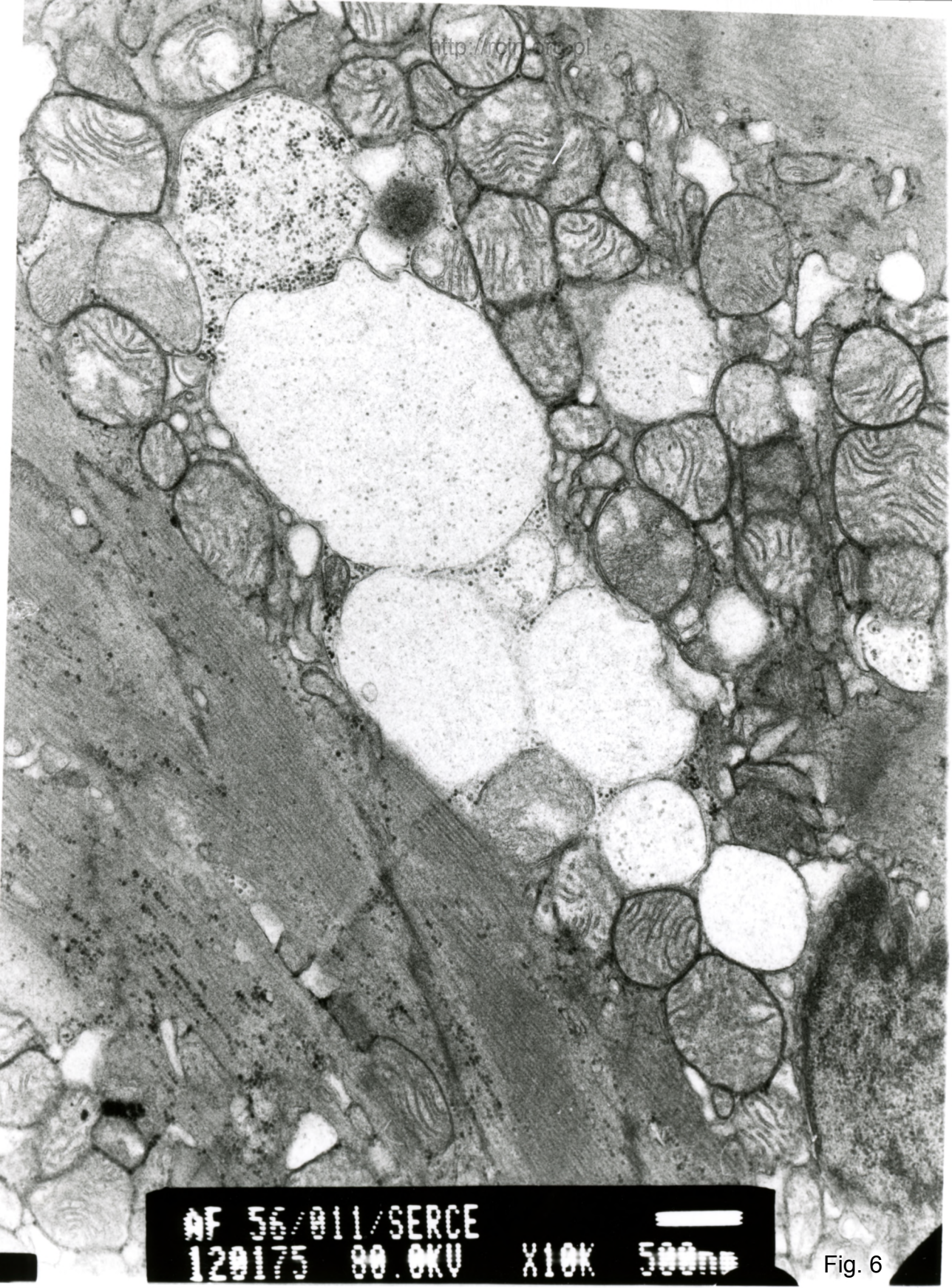


AF 55/911/SERCE
120176 80.0KV X3000



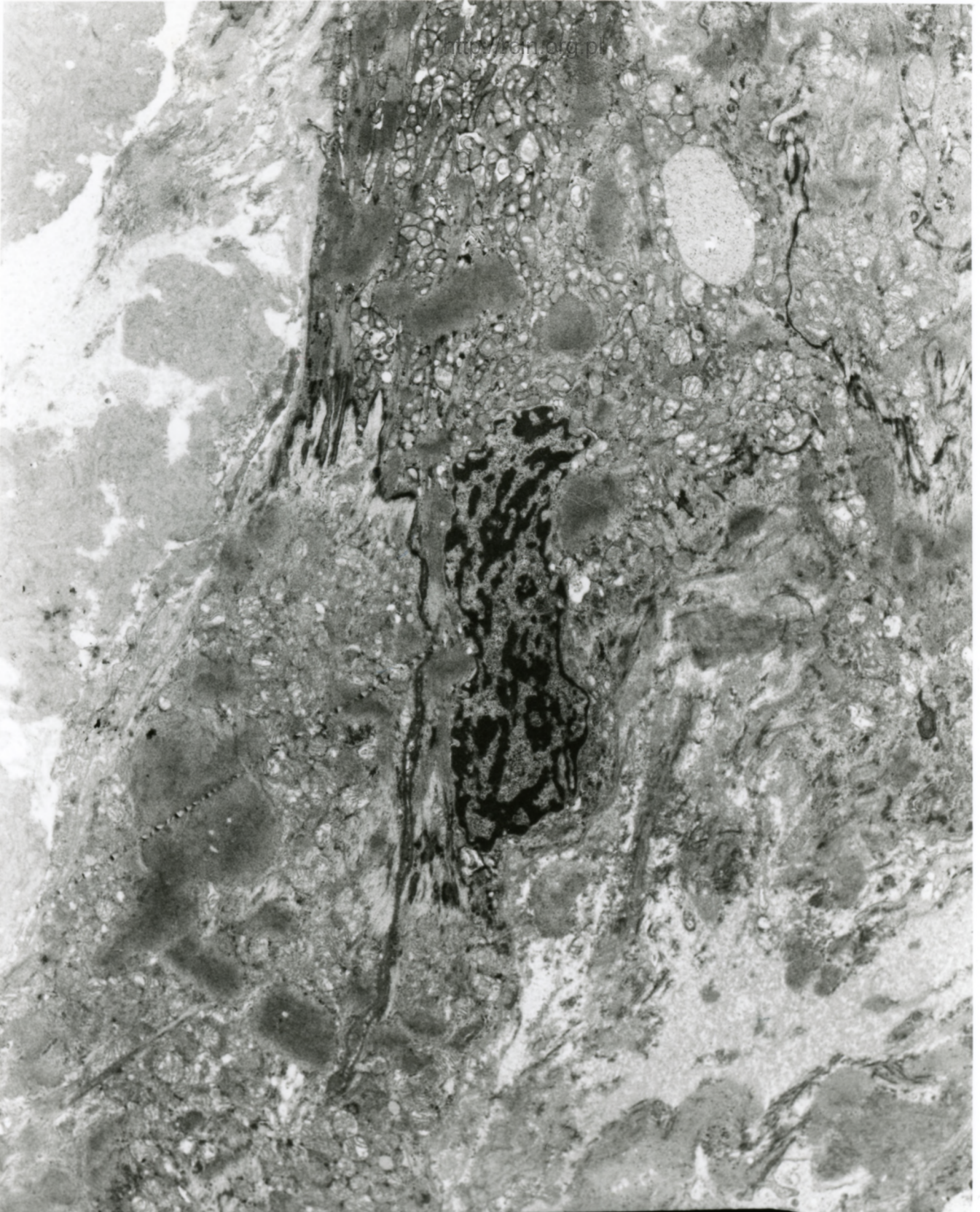
2µm

Fig. 5



AF 56/011/SERCE
120175 80.0KV X10K 500nm

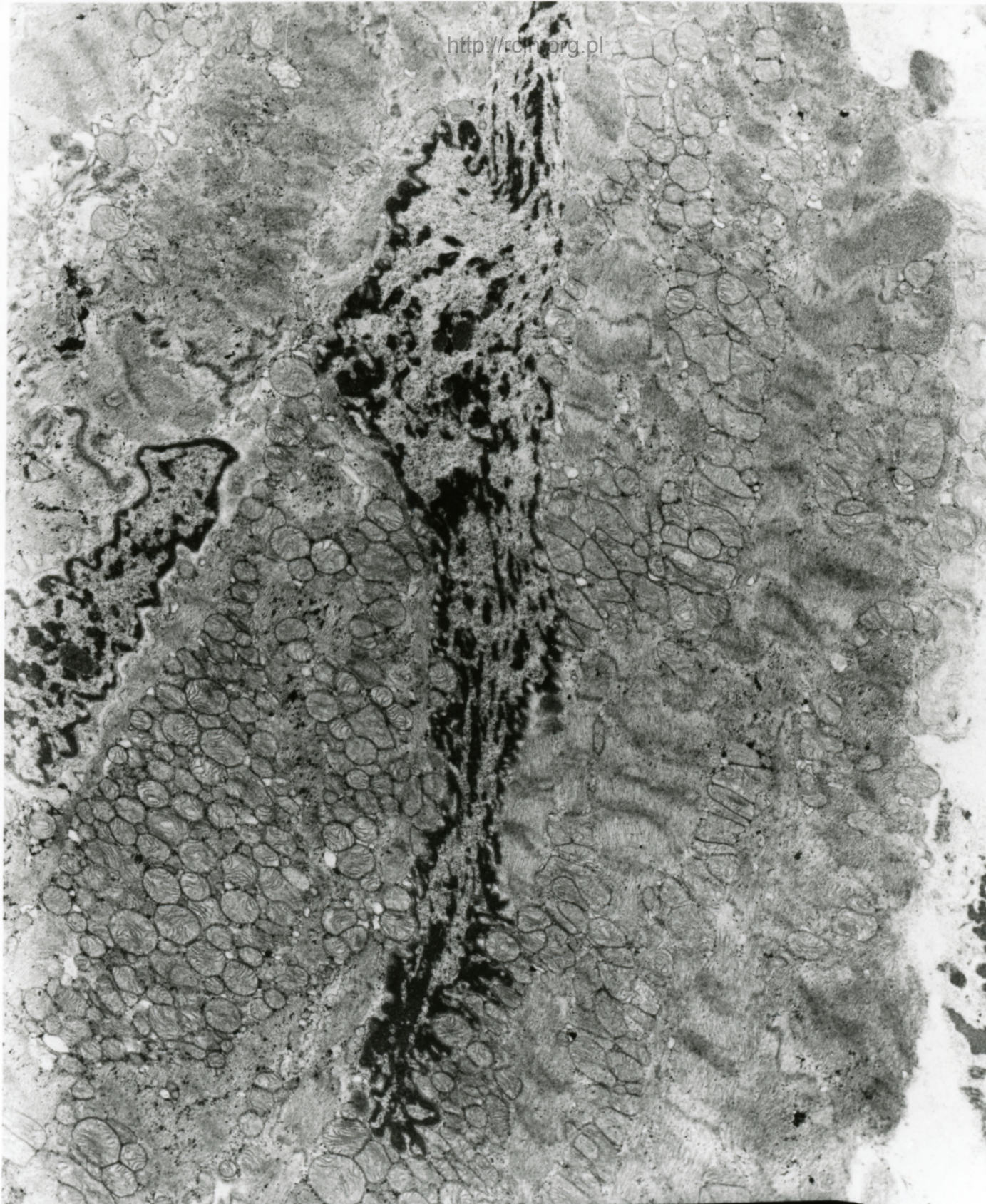
Fig. 6



<http://www.foxphoto.com>

AF 56/01SERCE
120054 00 00U X3000 2M

Fig. 7



AF 56/911/SERCE
129178 AA AKU X3000 2M

Fig. 8

56/11

1. 61

Niewydolność mięśnia sercowego

Analiza ultrastrukturalna wykazała wiele zmian w kardiomiocytach. W sarkoplazmie licznie występowały lizosomy (Fig. 1,2,3,4). W sarkoplazmie obecne były wakuole (Fig. 5,6). Jądra kardiomiocytów charakteryzowały się nieregularnym kształtem (Fig. 7,8).

Heart failure

Ultrastructural analysis revealed many changes in cardiomyocytes morphology. In the sarcoplasm numerous lysosomes (Figs. 1,2,3,4) and vacuoles vacuoles were observed (Figs. 5,6). Cardiomyocyte nuclei were characterised by abnormal, irregular shape (Figs. 7.8).